

Anhang 2-9: Sedimentbestandteile

Fig. 01: Texto-Ulminit.

LFZ 3: *Biogene Laminite*, MFZ 3d: *Aulacoseira-Opal(CT)-Fazies*, Kornschliff: KS24.
AM. Maßstab = 50µm.

Fig. 02: Texto-Ulminit.

LFZ 3: *Biogene Laminite*, MFZ 3a: *Huminit-Fazies*, Kornschliff: KS7.
AM. Maßstab = 50µm.

Fig. 03: Eu-Ulminit. Randlich in Texto-Ulminit übergehend.

LFZ 3: *Biogene Laminite*, MFZ 3c: *Huminit-Opal-Fazies*, Kornschliff: KS22.
AM. Maßstab = 50µm.

Fig. 04: Humodetrinit.

LFZ 3: *Biogene Laminite*, MFZ 3e: *Tetraedron-Opal(CT)-Fazies*, Stückschliff: BL/TO(CT)-F1.8.
AM. Maßstab = 50µm.

Fig. 05: Poröse Humusgele innerhalb ehemaliger Zellhohlräume.

LFZ 3: *Biogene Laminite*, MFZ 3d: *Aulacoseira-Opal(CT)-Fazies*, Kornschliff: KS25.
AM. Maßstab = 50µm.

Fig. 06: Detro-Gelinit.

LFZ 3: *Biogene Laminite*, MFZ 3e: *Tetraedron-Opal(CT)-Fazies*, Kornschliff: KS34.
AM. Maßstab = 50µm.

Fig. 07: Detro-Gelinit.

LFZ 3: *Biogene Laminite*, MFZ 3d: *Aulacoseira-Opal(CT)-Fazies*, Kornschliff: KS29.
AM. Maßstab = 50µm.

Fig. 08: Corpohuminit (isoliert).

LFZ 2: *Übergangsschichten*, MFZ 2b: *Quarz-Huminit-Fazies*, Stückschliff: ÜS/QH-F1.5.
AM. Maßstab = 50µm.

Fig. 01

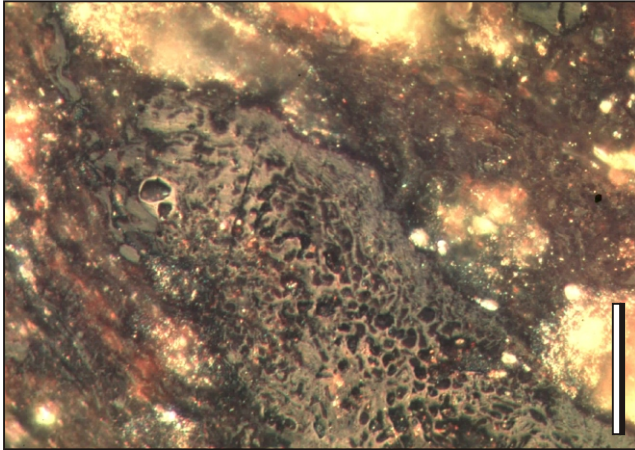


Fig. 02

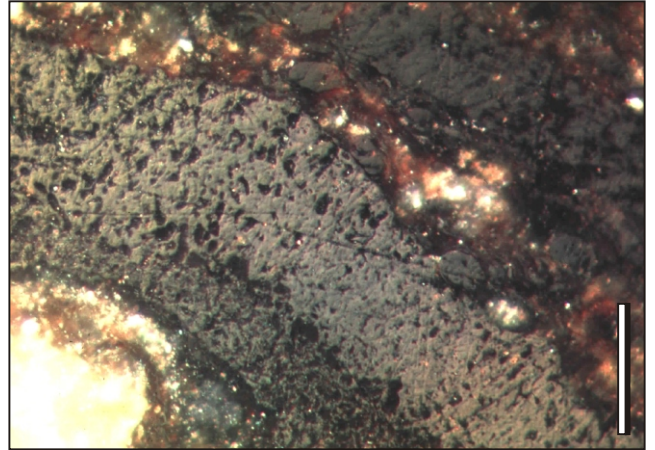


Fig. 03



Fig. 04

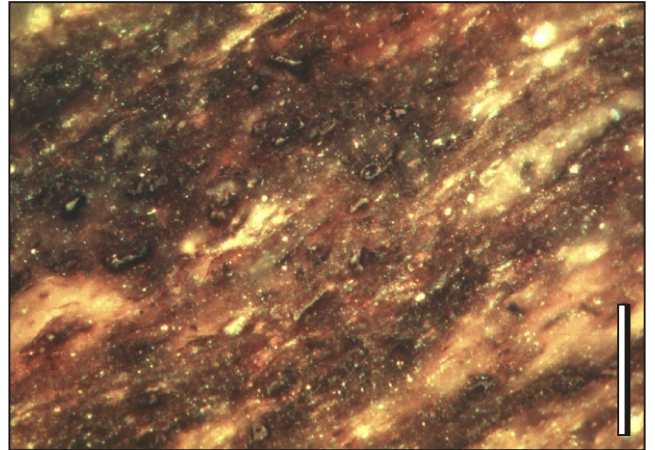


Fig. 05

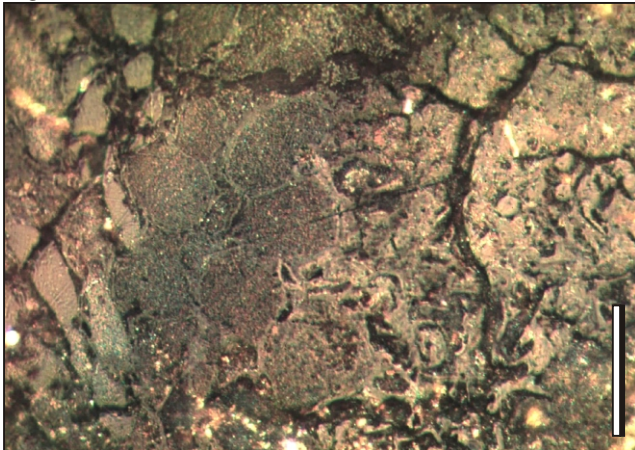


Fig. 06

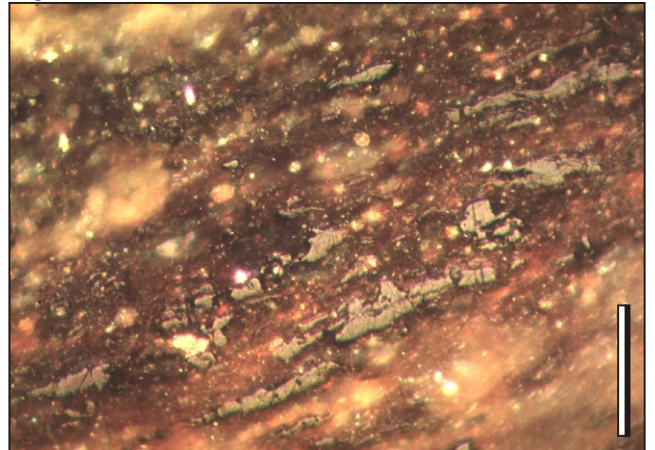


Fig. 07

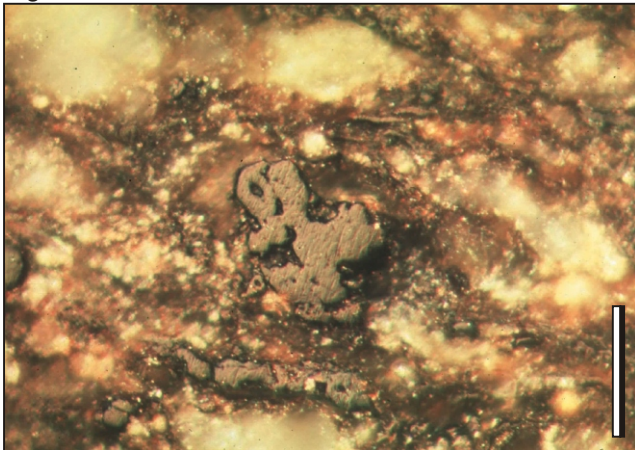
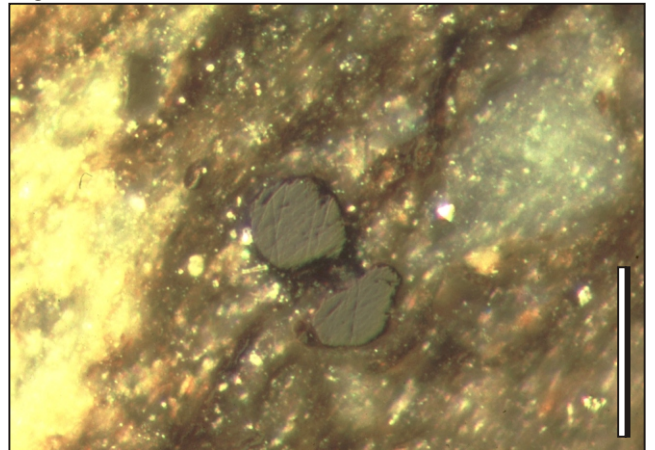


Fig. 08



Anhang 2-10: Sedimentbestandteile

Fig. 01: Corpohuminit (*in situ*).

LFZ 3: *Biogene Laminite*, MFZ 3e: *Tetraedron-Opal(CT)-Fazies*, Stückschliff: BL/TO(CT)-F1.2.
AFM. Maßstab = 50µm.

Fig. 02: Sporinit.

LFZ 3: *Biogene Laminite*, MFZ 3c: *Huminit-Opal-Fazies*, Kornschliff: KS21.
AFM. Maßstab = 50µm.

Fig. 03: Ansammlung von Sporiniten zwischen zwei Diatomeenlagen.

LFZ 3: *Biogene Laminite*, MFZ 3b: *Aulacoseira-Fazies*, Stückschliff: BL/A-F1.3.
AFM. Maßstab = 50µm.

Fig. 04: Triporates Pollenkorn (verm. *Plicatopollis plicatus*; LENZ, frdl. mündl. Mitt. 2002). Blick auf die Schichtfläche.

LFZ 3: *Biogene Laminite*, MFZ 3d: *Aulacoseira-Opal(CT)-Fazies*, Kornschliff: KS30.
AFM. Maßstab = 25µm.

Fig. 05: Cutinit mit cutinisierten Epidermis-Zellwänden.

LFZ 3: *Biogene Laminite*, MFZ 3d: *Aulacoseira-Opal(CT)-Fazies*, Stückschliff: BL/AO(CT)-F1.8.
AFM. Maßstab = 200µm.

Fig. 06: Cutinit.

LFZ 3: *Biogene Laminite*, MFZ 3e: *Tetraedron-Opal(CT)-Fazies*, Kornschliff: KS39.
AFM. Maßstab = 50µm.

Fig. 07: *Botryococcus*-Kolonien und Liptodetrinit.

LFZ 3: *Biogene Laminite*, MFZ 3e: *Tetraedron-Opal(CT)-Fazies*, Stückschliff: BL/TO(CT)-F1.1.
AFM (B = *Botryococcus*, Li = Liptodetrinit). Maßstab = 200µm.

Fig. 01

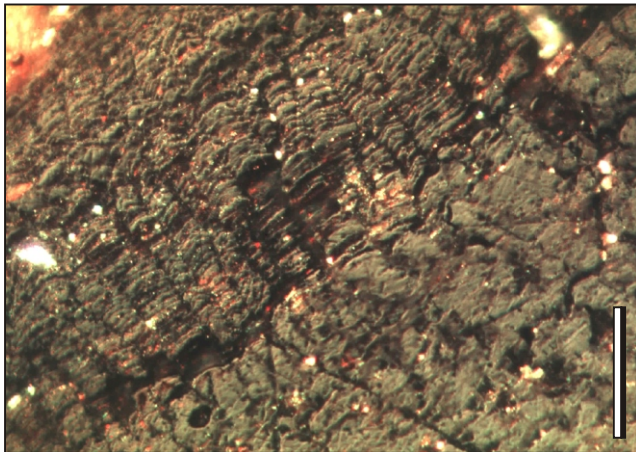


Fig. 02

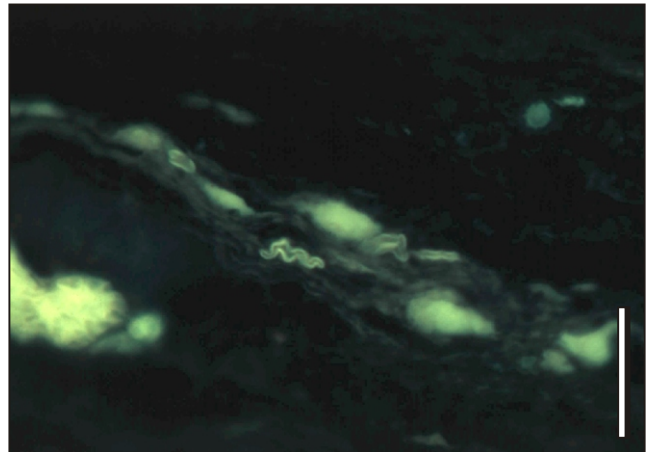


Fig. 03

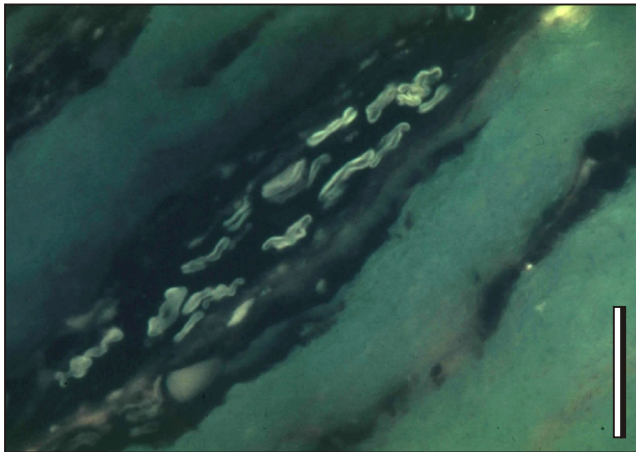


Fig. 04

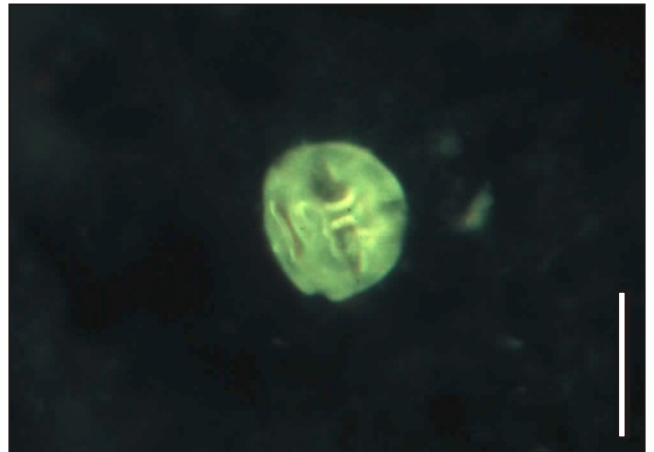


Fig. 05

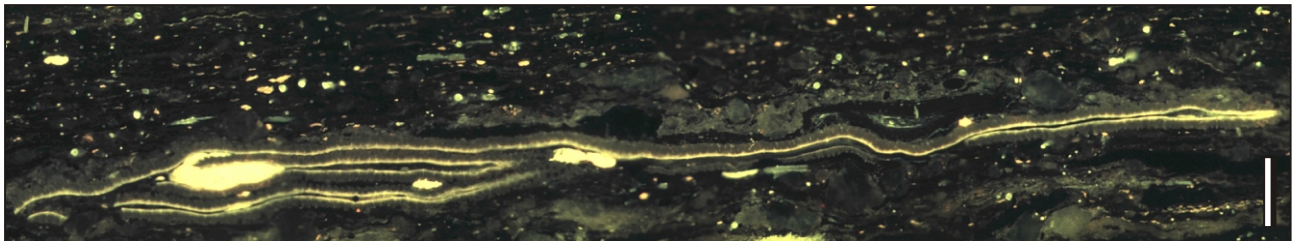


Fig. 06

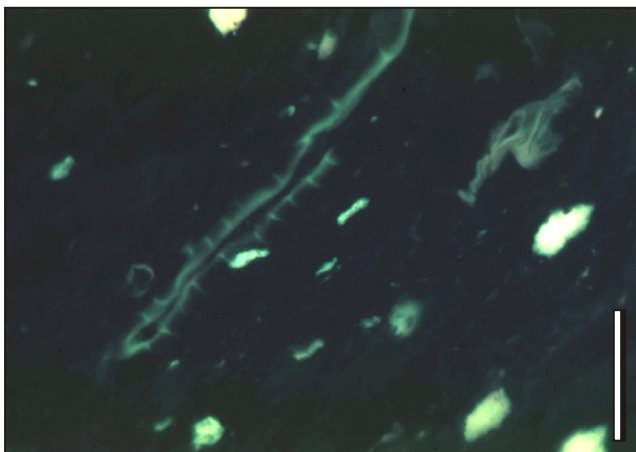
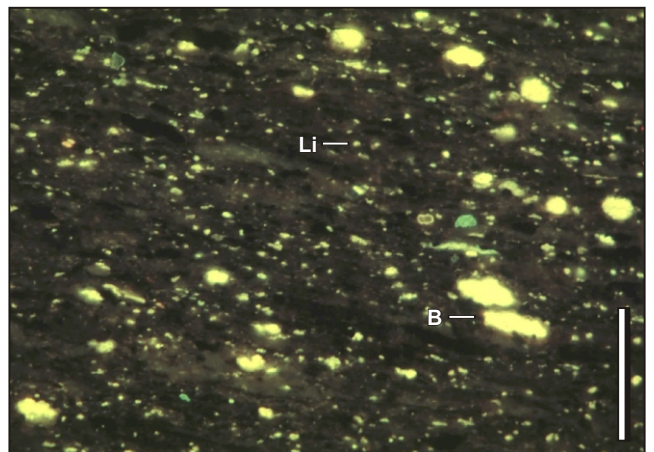


Fig. 07



Anhang 2-11: Sedimentbestandteile

Fig. 01: Ulminit mit Resinit als Füllung der Zellhohlräume.

LFZ 3: *Biogene Laminite*, MFZ 3b: *Aulacoseira-Fazies*, Stückschliff: BL/A-F1.1.
AM. Maßstab = 50µm.

Fig. 02: Wie Fig. 01.

AFM.

Fig. 03: *Aulacoseira cf. granulata*.

LFZ 3: *Biogene Laminite*, MFZ 3b: *Aulacoseira-Fazies*, Probe: BL/A-F1.8.
REM.

Fig. 04: Diatomeen-Schale.

LFZ 3: *Biogene Laminite*, MFZ 3d: *Aulacoseira-Opal(CT)-Fazies*, Kornschliff: KS26.
AFM. Maßstab = 50µm.

Fig. 05: Chrysophyceen-Zysten ("Stomatocyst 133").

LFZ 3: *Biogene Laminite*, MFZ 3b: *Aulacoseira-Fazies*, Probe: BL/A-F1.8.
REM.

Fig. 06: Korrodierte Chrysophyceen-Zyste.

LFZ 3: *Biogene Laminite*, MFZ 3c: *Huminit-Opal-Fazies*, Probe: BL/HO-F1.4.
REM.

Fig. 07: Schwamm-Monaxone innerhalb einer diatomeenreichen Lage.

LFZ 3: *Biogene Laminite*, MFZ 3d: *Aulacoseira-Opal(CT)-Fazies*, Probe: BL/AO(CT)-F1.4.
REM.

Fig. 08: *Botryococcus*-Kolonien ("großer" und "kleiner" Kolonie-Typ).

LFZ 3: *Biogene Laminite*, MFZ 3e: *Tetraedron-Opal(CT)-Fazies*, Kornschliff: KS37.
AFM. Maßstab = 50µm.

Fig. 01

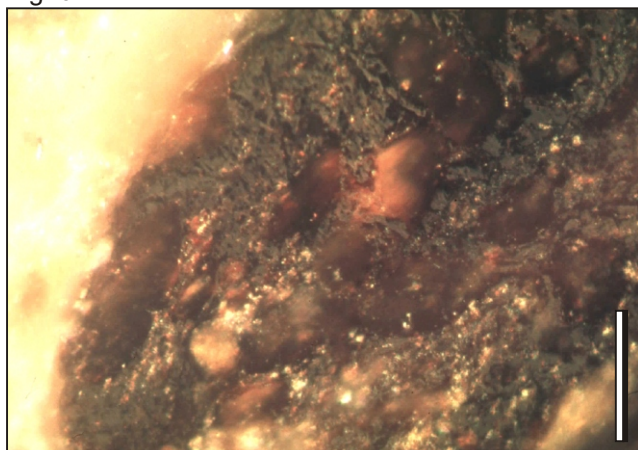


Fig. 02

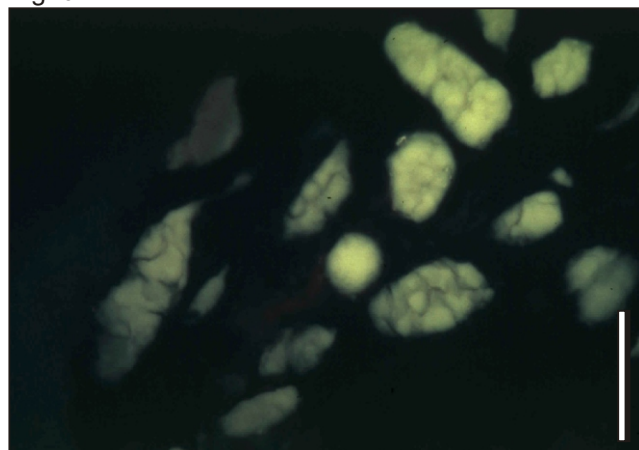


Fig. 03

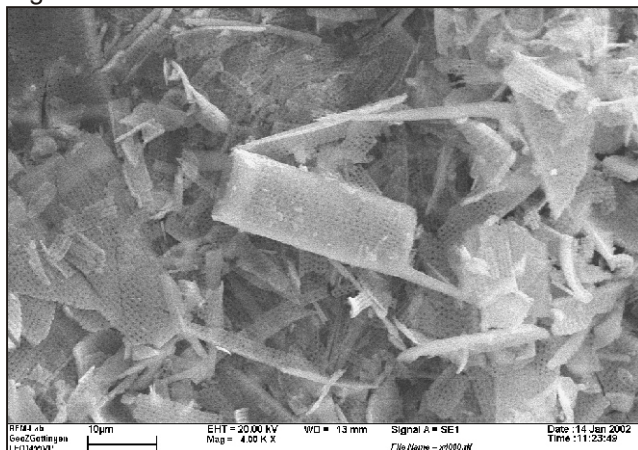


Fig. 04

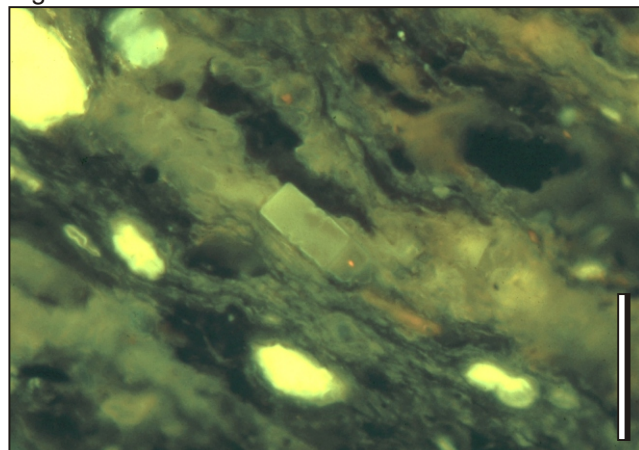


Fig. 05

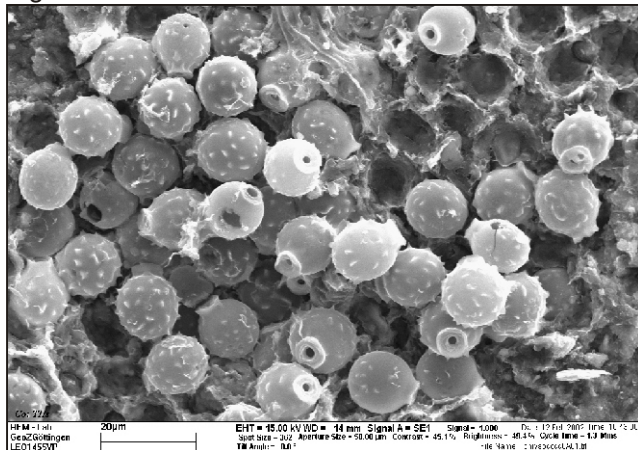


Fig. 06

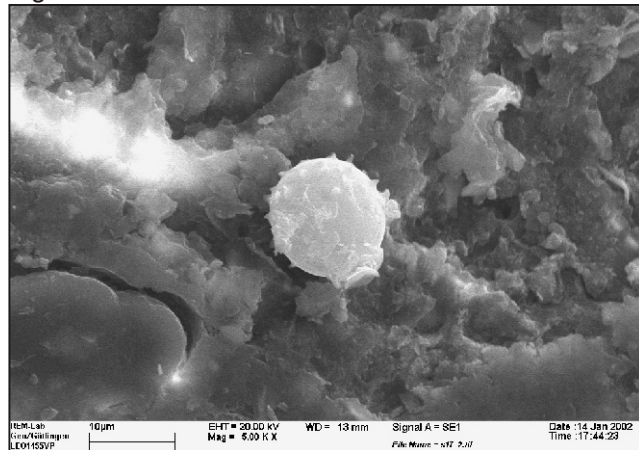


Fig. 07

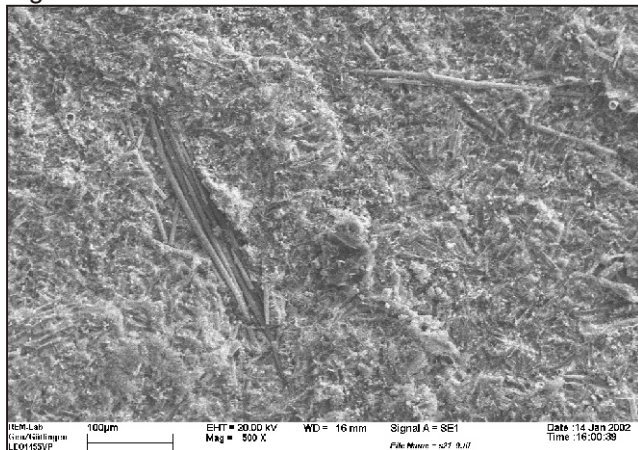
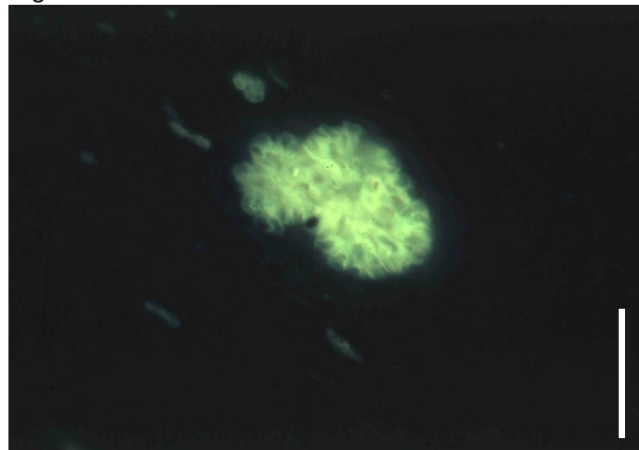


Fig. 08



Anhang 2-12: Sedimentbestandteile

Fig. 01: *Botryococcus* cf. *braunii*.

LFZ 3: *Biogene Laminite*, MFZ 3e: *Tetraedron-Opal(CT)-Fazies*, Probe: BL/TO(CT)-F1.2.
REM.

Fig. 02: *Botryococcus*-Kolonie ("kleiner" Kolonie-Typ).

LFZ 3: *Biogene Laminite*, MFZ 3e: *Tetraedron-Opal(CT)-Fazies*, Kornschliff: KS34.
AFM. Maßstab = 25µm.

Fig. 03: *Tetraedron* cf. *minimum*.

LFZ 3: *Biogene Laminite*, MFZ 3e: *Tetraedron-Opal(CT)-Fazies*, Kornschliff: KS54 (Bild rechts unten) bzw. Kornschliff: KS44 (restliche Bilder).
AFM. Maßstab = 20µm.

Fig. 04: Unstrukturierter Lamalginit.

LFZ 3: *Biogene Laminite*, MFZ 3e: *Tetraedron-Opal(CT)-Fazies*, Kornschliff: KS54
AFM. Maßstab = 50µm.

Fig. 05: Lateraler Übergang von kompaktierten *Tetraedron*(?)-Zellen zu unstrukturiertem Lamalginit.

LFZ 3: *Biogene Laminite*, MFZ 3e: *Tetraedron-Opal(CT)-Fazies*, Stückschliff: BL/TO(CT)-F2.3.
AFM. Maßstab = 50µm.

Fig. 06: Bituminite (gelb fluoreszierend).

LFZ 3: *Biogene Laminite*, MFZ 3e: *Tetraedron-Opal(CT)-Fazies*, Kornschliff: KS46.
AFM. Maßstab = 50µm.

Fig. 07: Pyrit-Framboid.

LFZ 3: *Biogene Laminite*, MFZ 3c: *Huminit-Opal-Fazies*, Probe: BL/HO-F1.4.
REM.

Fig. 08: Idiomorphe Pyrit-Oktaeder. Im linken Bildabschnitt: Abdruck einer Diatomeen-Schale.

LFZ 3: *Biogene Laminite*, MFZ 3e: *Tetraedron-Opal(CT)-Fazies*, Probe: BL/TO(CT)-F1.2.
REM.

Fig. 01

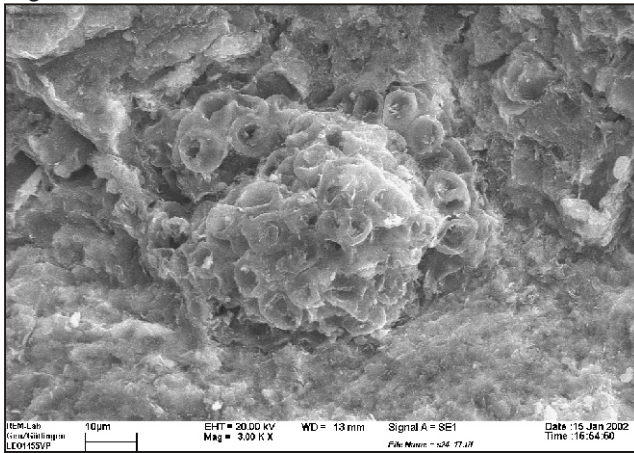


Fig. 02

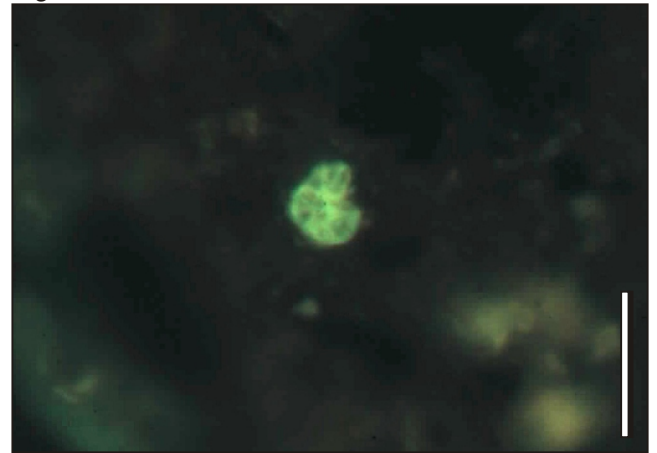


Fig. 03

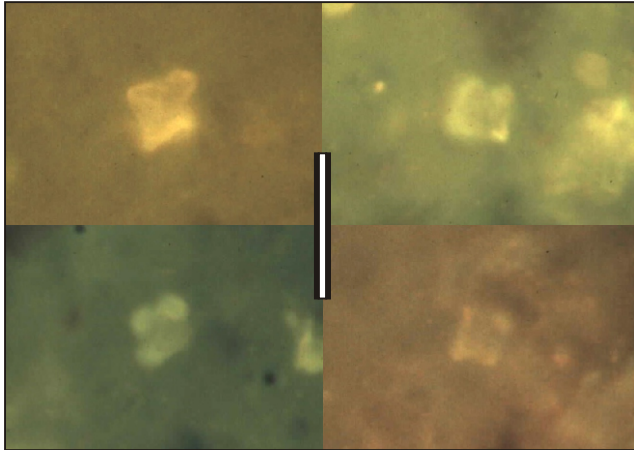


Fig. 04

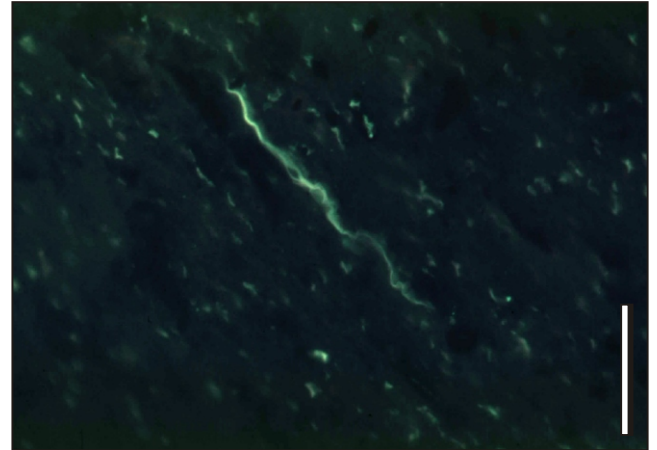


Fig. 05

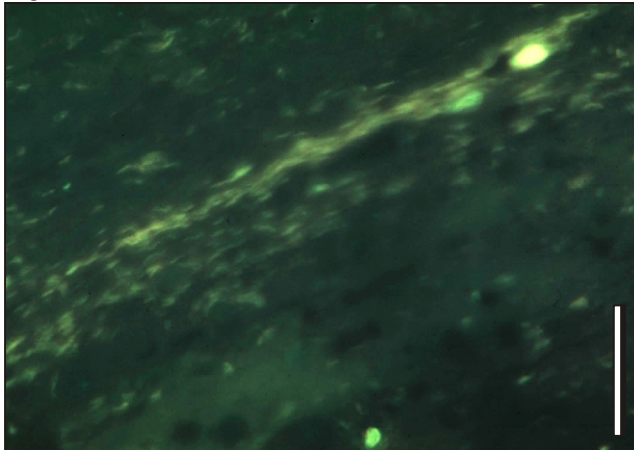


Fig. 06

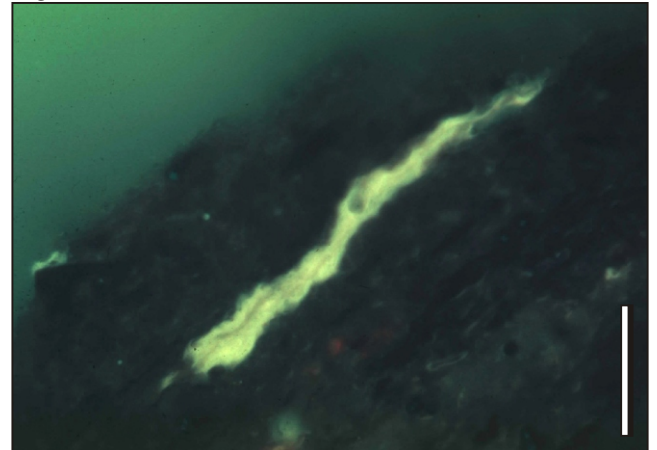


Fig. 07

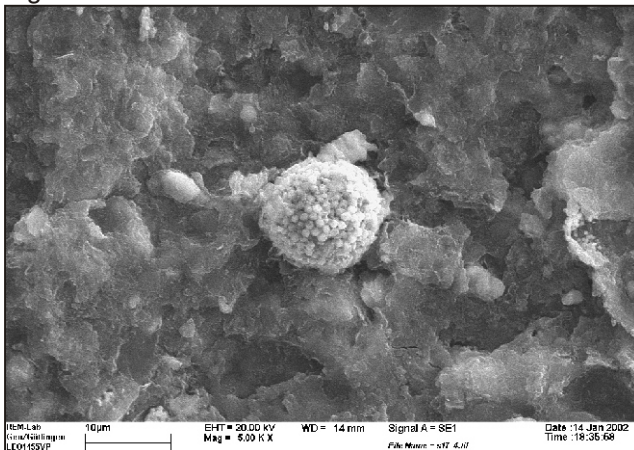


Fig. 08

